

этой ситуации при  $V_{m1}, V_{m2} \rightarrow V_{m \min}$  и являются стационарные малые возмущения на границе режима магнитной изоляции.

Выражение (8) для скорости распространения малых возмущений не зависит от их формы и справедливо при условии, что длина возмущений в лабораторной системе  $\lambda$  превышает  $\frac{x_m - x_c}{\psi} \sqrt{1 - u_{\pm}^2} = \lambda_{\pm}$ .

Для  $\lambda_{\pm}$  выполняется соотношение  $\lambda_{-} \gg \lambda_{+}$ , причем равенство достигается только в режиме полного заполнения пучком межэлектродного пространства при  $V_m = V$ . В случае сильно прижатого к катоду электронного слоя, когда  $V_m \rightarrow 0$ , асимптотическое поведение нижней границы длины возмущений  $\lambda_{\pm}$  описывается выражением  $\lambda_{\pm} = 2V_m V^{3/2}$ . Зависимость  $\lambda_{\pm}$  от потенциала границы электронного слоя  $V_m$  при заданном анодном напряжении  $V$  приведена на рис. 4. Все ее особенности представляются очевидными следствиями хода кривых для  $\frac{2J_c}{g} = \frac{x_a - x_c}{x_m - x_c} \psi$  (рис. 2) и  $u_{\pm}$  (рис. 3), рассмотренных выше. Максимальное значение  $\lambda_{-}$  приблизительно соответствует границе магнитной изоляции и уменьшается с ростом  $V$ . В широком диапазоне анодных напряжений величина  $\lambda_{\pm}$  не превышает межэлектродного расстояния и в основном много меньше его. Поэтому полученные результаты справедливы во всех случаях, когда имеется в системе или ее части режим однородной магнитной изоляции.

#### СПИСОК ЛИТЕРАТУРЫ

- [1] Василенко О. И. Вопросы теории магнитной изоляции линий и диодов: Автореф. дис. ... канд. физ.-мат. наук. М. (МГУ), 1978. [2] Василенко О. И. // Вестн. Моск. ун-та. Физ. Астрон. 1978. 19, № 5. С. 17. [3] Данилов В. Н. // Радиотехн. и электроника. 1963. 8, № 11. С. 1892. [4] Данилов В. Н. // Там же. 1966. 11, № 11. С. 1994. [5] Creedon J. M. // J. Appl. Phys. 1975. 46, № 7. P. 2946. [6] Василенко О. И. // ЖТФ. 1979. 49, № 1. С. 76. [7] Гордеев А. В., Заживихин В. В. // Вопросы атомной науки и техники. Сер. Термоядерный синтез. 1982. Вып. 1 (9). С. 55. [8] Voronin V. S., Kolomensky A. A., Krastelyev E. G. et al. // Proc. 3rd Intern. Topical Conf. on High Power Electron and Ion Beam. Research and Technology, Novosibirsk, 1979. Vol. 2. P. 593.

Поступила в редакцию  
24.10.88

ВЕСТН. МОСК. УН-ТА. СЕР. 3, ФИЗИКА. АСТРОНОМИЯ. 1990. Т. 31, № 1

УДК 533.9

### КИНЕТИЧЕСКАЯ ТЕОРИЯ ВОЗБУЖДЕНИЯ НЕМОНОСКОРОСТНЫМ ПУЧКОМ ЭЛЕКТРОНОВ ШИРОКОГО СПЕКТРА СПИРАЛЬНЫХ ВОЛН В КОНЕЧНОМ МАГНИТНОМ ПОЛЕ В УСЛОВИЯХ АНОМАЛЬНОГО ЭФФЕКТА ДОПЛЕРА

М. В. Кузелев, Р. В. Романов

(кафедра физической электроники)

Изложена нелинейная теория излучения горячим электронным пучком широкого спектра спиральных электромагнитных волн в конечном магнитном поле в условиях аномального эффекта Доплера. Выяснен механизм стабилизации неустойчивости, приведены численные и аналитические решения.

В последнее время большой интерес исследователей вызывает изучение кинетических и гидродинамических неустойчивостей в условиях аномального эффекта Доплера. В линейном гидродинамическом при-

близости эта неустойчивость была исследована в работе [1]. Аналитические и численные решения данной задачи в нелинейном случае для одномодового и многомодового режимов приведены в [2]. В работе [3] изложена аналитическая нелинейная теория излучения волн горячим электронным прямолинейным пучком в условиях аномального эффекта Доплера в кинетическом одномодовом режиме.

Настоящая работа посвящена кинетической теории излучения немоноскоростным пучком электронов широкого спектра спиральных волн в условиях аномального эффекта Доплера. Перейдем к строгому рассмотрению задачи.

Пусть немоноскоростной нейтрализованный электронный пучок распространяется вдоль направления внешнего магнитного поля  $B_0$  (по оси  $Oz$ ) в пространстве, заполненном однородным изотропным диэлектриком с диэлектрической проницаемостью  $\epsilon_0 > 1$ , и взаимодействует с циркулярно поляризованным волновым возмущением, распространяющимся в том же направлении. В этом случае уравнения движения электронов для компонент скорости  $v_{\parallel}$  и  $v_{\perp} = v_x + iv_y$ , а также уравнение для поперечной компоненты векторного потенциала  $A_{\perp} = A_x + iA_y$  запишутся в виде [2]

$$\begin{aligned} dv_{\perp}/dt + i\omega_B v_{\perp} &= -(e/(mc)) (\partial A_{\perp}/\partial t + v_{\parallel} \partial A_{\perp}/\partial z), \\ dv_{\parallel}/dt &= (e/(2mc)) (v_{\perp} \partial A_{\perp}^*/\partial z + \text{к. с.}), \\ \partial^2 A_{\perp}/\partial t^2 - c_0^2 \partial^2 A_{\perp}/\partial z^2 &= (4\pi c/\epsilon_0) j_{\perp}, \end{aligned} \quad (1)$$

где  $c_0^2 = c^2/\epsilon_0$ ,  $\omega_B$  — электронная циклотронная частота,  $e$  и  $m$  — заряд и масса электрона. Поперечная компонента тока пучка определяется соотношением [4]

$$j_{\perp} = en_b \iint f_0(v_0) v_{\perp}(t, z_0, v_0) \delta[z - z(t, z_0, v_0)] dz_0 dv_0, \quad (2)$$

где  $n_b$  — невозмущенная плотность электронов пучка,  $f_0(v_0)$  — невозмущенная функция распределения электронов по продольным скоростям, а  $z(t, z_0, v_0)$  — координата электрона, выходящего при  $t=0$  из точки  $z_0$ . Первые два уравнения системы (1) дополняются начальными условиями  $v_{\parallel}(t=0) = v_0$ ,  $v_{\perp}(t=0) = 0$ , последнее из которых означает, что в невозмущенном пучке поперечные скорости отсутствуют.

Решение системы (1) будем искать в виде широкого спектра спиральных волн

$$A_{\perp} = (mc/e) \sum_s \epsilon_s(t) \exp(i\omega_s t - ik_s z), \quad (3)$$

где  $\epsilon_s(t)$  — медленно меняющиеся амплитуды. Кроме того, учитывая, что волны циркулярной поляризации не модулируют электронный пучок по плотности [2, 5], воспользуемся соотношениями

$$v_{\parallel}(t, z_0, v_0) = v_{\parallel}(t, v_0), \quad v_{\perp} = \sum_s V_s(t) \exp(i\omega_s t - ik_s z), \quad (4)$$

$$z(t, z_0, v_0) = z_0 + \int_0^t v_{\parallel}(t', v_0) dt',$$

где  $z$ , как и в (3), — независимая переменная. Выполняя в (2) интегри-

рование по  $z_0$  и подставляя (3), (4) в систему (1), имеем следующую систему уравнений и начальных условий:

$$\begin{aligned} d\varepsilon_s/dt &= -i(\omega_b^2/2\omega_s) \int f_0(v_0) V_s dv_0, \quad \varepsilon_s(t=0) = \varepsilon_{s0}, \\ dV_s/dt + i(\omega_s - k_s v_{\parallel} + \omega_B) V_s &= i\omega_B \varepsilon_s, \quad V_s(t=0) = 0, \\ dv_{\parallel}/dt &= -(i/2) \sum_s k_s (V_s^* \varepsilon_s - \text{к. с.}), \quad v_{\parallel}(t=0) = v_0, \end{aligned} \quad (5)$$

обобщающую уравнения, полученные в [2], на случай немоноскоростного пучка. Заметим также, что при выводе (5) сделаны следующие предположения.

1. Поскольку в сильном взаимодействии с волнами участвуют электроны с  $v_{\parallel} = (\omega + \omega_B)/k$  (условие аномального доплеровского резонанса), то в правой части второго уравнения системы (5) произведена замена  $k_s v_{\parallel} - \omega_s = \omega_B$ .

2. При подстановке (3) и (4) во второе уравнение из (1) правая часть уже зависит от продольной координаты  $z$  и предположение об отсутствии модуляции пучка по плотности, вообще говоря, несправедливо. Однако если начальные фазы волн распределены случайным образом и корреляция фаз в дальнейшем не наступает, то однонаправленный вклад дают только диагональные члены, а остальные в среднем компенсируют друг друга. Тот же факт, а именно, что корреляция фаз волн со временем не наступает, следует и из первых двух уравнений системы (5). Действительно, корреляция фаз могла бы возникнуть только в том случае, если бы в этих уравнениях помимо амплитуды с индексом  $s$  содержались бы явно и амплитуды с другими индексами.

Легко также показать, что система (5) имеет интегралы

$$\begin{aligned} v_{\parallel} &= v_0 - (1/2\omega_B) \sum_s k_s |V_s|^2, \quad |\varepsilon_s|^2 - (\omega_b^2/(2\omega\omega_B)) \int f_0(v_0) |V_s|^2 dv_0 = |\varepsilon_{s0}|^2, \\ \sum_s k_s^2 (|\varepsilon_s|^2 - |\varepsilon_{s0}|^2) + (\omega_b^2/c_0) \int f_0(v_0) (v_{\parallel} - v_0) dv_0 &= 0, \end{aligned} \quad (6)$$

второй из которых отражает закон сохранения энергии, а третий — импульса, причем любой из них является следствием двух других.

Для изучения динамики функции распределения будем использовать формулу [4]

$$f(v_{\parallel}) = \sum_j f_0(v_{0j}) |\partial v_{\parallel}(t, v_{0j}) / \partial v_0|^{-1}, \quad (7)$$

где  $v_{0j}$  — корни уравнения  $v_{\parallel} = v_{\parallel}(t, v_0)$ , в котором  $v_{\parallel}$  считается независимой переменной.

Для дальнейшего упрощения задачи формально решим второе уравнение из системы (5):

$$V_s = \varepsilon_s \omega_B / (\omega_s - k_s v_{\parallel} + \omega_B), \quad (8)$$

где  $\omega_s \rightarrow \omega_s - i\delta\omega_s$  и  $\delta\omega_s$  — линейный инкремент. Подставляя далее (8) в первое уравнение из системы (5), умноженное на  $\varepsilon^*$ , и складывая с комплексно сопряженным, получим

$$d|\varepsilon_s|^2/dt = 2\delta\omega_{sn} |\varepsilon_s|^2, \quad (9)$$

где

$$\delta\omega_{sn} = \frac{\omega_B^2 \omega_B}{2\omega_s} \int f_0(v_0) \frac{\delta\omega_s}{(\omega_s - k_s v_{\parallel} + \omega_B)^2 + \delta\omega_s^2} dv_0 \quad (10)$$

— нелинейный инкремент. После подстановки (8) в третье уравнение системы (5) имеем

$$\frac{dv_{\parallel}}{dt} = -\omega_B \sum_s k_s \frac{\delta\omega_s}{(\omega_s - k_s v_{\parallel} + \omega_B)^2 + \delta\omega_s^2} |\varepsilon_s|^2. \quad (11)$$

В дальнейшем более удобным является переход от дискретного к непрерывному спектру, что можно сделать, формально заменив  $\sum_s |\varepsilon_s|^2$  на

$\int E^2(k) dk$ . Кроме того, считая, как обычно [6], что в кинетическом

режиме  $\delta\omega_s \rightarrow 0$ , и применяя известные из квазилинейной теории преобразования, окончательно имеем следующую систему уравнений:

$$\begin{aligned} dv_{\parallel}/dt &= -\pi\omega_B^2 E^2(t, k_r)/(v_{\parallel} - c_0)^2, \\ dE^2/dt &= (\pi\omega_B^2 \omega_B / (k^2 c_0)) f_0(\bar{v}) |\partial v_{\parallel}(\bar{v}) / \partial v_0|^{-1} E^2, \end{aligned} \quad (12)$$

где  $\bar{v}$  — корень уравнения  $v_{\parallel}(t, \bar{v}) = c_0 + \omega_B/k$ ,  $k_r = \omega_B/(v_{\parallel} - c_0)$ , которая дополняется интегралом и начальными условиями:

$$\begin{aligned} \int k^2 (E^2 - E_0^2) dk + (\omega_B^2/c_0) \int f_0(v_0) (v_{\parallel} - v_0) dv_0 &= 0, \\ E^2(t=0) = E_0^2, \quad v_{\parallel}(t=0) = v_0. \end{aligned} \quad (13)$$

Аналитическое решение системы (12) невозможно, поэтому были использованы численные методы с переходом к безразмерным переменным

$$\alpha = k/\bar{k}, \quad \tau = \bar{\delta}\omega t, \quad x = \bar{k}(v_{\parallel} - c_0)/\omega_B, \quad B = \pi \bar{k}^3 E^2 / \omega_B \bar{\delta}\omega,$$

где  $\bar{\delta}\omega = (\pi\omega_B^2 \omega_B / (2c_0 \bar{k}^2)) f_0(\bar{v})$  — средний линейный инкремент и  $\bar{k}$  — среднее волновое число волнового пакета. При этом условие резонанса волна-частица запишется как  $x\alpha = 1$ , а (12) и (13) переписутся в форме, удобной для численного анализа:

$$\begin{aligned} \frac{dx}{d\tau} &= -\frac{1}{x^2} B(\tau, \alpha_r), \quad \alpha_r = \frac{1}{x}, \quad x(\tau=0) = x_0, \\ \frac{dB}{d\tau} &= 2 \frac{1}{\alpha^2} \frac{\varphi_0(\bar{x})}{\varphi_0(\bar{x}_0)} \left| \frac{\partial x}{\partial x_0}(\bar{x}) \right|^{-1} B, \quad x(\tau, \bar{x}) = \frac{1}{\alpha}, \quad B(\tau=0) = B_0, \\ \int \alpha^2 (B - B_0) d\alpha + 2 \int \frac{\varphi_0(x_0)}{\varphi_0(\bar{x}_0)} (x - x_0) dx_0 &= 0. \end{aligned} \quad (14)$$

Отметим, что  $\varphi_0(x)$  — невозмущенная функция распределения, а  $\bar{x}_0$  — средняя скорость электронов пучка. Из условия резонанса следует, что  $\bar{x}_0 = 1$ . Функция распределения в последующие моменты времени вычисляется, согласно (7), как  $\varphi(x) = \varphi_0(x_{0j}) |\partial x(x_{0j}) / \partial x_0|^{-1}$ , где  $x_{0j}$  — корень уравнения  $x(\bar{t}, x_0) = x$ , а знак суммы опущен (как и при выводе (12)) в связи с тем, что уравнение имеет не более одного корня.

Для численных расчетов необходимо конкретизировать функцию распределения, которую выберем в виде

$$\varphi_0(x_0) = \frac{\Theta}{\pi} \frac{1}{(x_0 - \bar{x}_0)^2 + \Theta^2}, \quad (15)$$

где  $\Theta$  — полуширина функции распределения.

Следует подчеркнуть, что в кинетическом режиме должно выполняться следующее неравенство:

$$\delta\omega/k \ll \Delta V, \quad (16)$$

где  $\Delta V$  — полуширина функции распределения в размерных переменных, или

$$\frac{1}{\alpha} \frac{\delta\omega}{\omega_B} \ll \Theta. \quad (17)$$

Поскольку при выводе (12) полагали, что инкремент  $\delta\omega$  (точнее,  $\delta\omega_s$ ) стремится к нулю, то неравенство (17) считаем выполненным для любых  $\Theta$ .

Прежде чем перейти к рассмотрению результатов численных расчетов, оценим время насыщения неустойчивости и максимальную амплитуду волн, для чего систему (14) перепишем в линейном приближении:

$$dx/d\tau = B(\alpha_r)/x_0^2, \quad dB/d\tau = 2B/\alpha^2, \quad \alpha_r = 1/x_0.$$

Решениями ее будут следующие выражения:

$$B = B_0 \exp(2\tau/\alpha^2), \quad x = x_0 - (B_0/(2x_0^4)) (\exp(2x_0^2\tau) - 1).$$

За время насыщения  $\tau_{\max}$  примем максимальный промежуток времени, необходимый для того, чтобы любой электрон из области резонанса затормозился до минимальной скорости, соответствующей данной ширине спектра:

$$\tau_{\max} = \max \{ \ln(2(x_0 - x_{\min})x_0^4/B_0 + 1)/2x_0^2 \},$$

где  $x_{\min} = 1/a_{\max}$ . Максимальная амплитуда для  $\alpha = 1$  в этом случае будет равна  $B = B_0 \exp(2\tau_{\max})$ . Так, для спектра с  $\alpha \in [0,8; 1,2]$  и  $B_0 = 0,001$  имеем  $\tau_{\max} = 2,9$ ,  $B(\tau_{\max}, 1) = 0,35$ , что совпадает (как будет показано ниже) с результатами численных расчетов.

Перейдем к обсуждению результатов численных расчетов. Система (14) интегрировалась при  $\alpha \in [0,8; 1,2]$  и при различных значениях  $\Theta$ . Приведем характерные результаты, полученные для  $\Theta = 2$  и полуширины спектра  $\Delta\alpha = 0,2$ . На рис. 1 представлена временная динамика отдельных волн спектра. Видно, что до момента времени  $\tau \approx 3$  амплитуда увеличивается экспоненциально, после чего практически выходит на стационарное значение. На рис. 2 показана динамика всего спектра: с течением времени граница неустойчивости смещается в сторону больших  $\alpha$ . На линейной стадии наибольший рост характерен для волн с меньшим  $\alpha$  (соответственно  $k$ ), что объясняется наличием множителя  $\alpha^{-2}$  во втором уравнении системы (14). В дальнейшем основную роль начинает играть множитель  $|\partial x/\partial x_0|^{-1}$ . После достижения  $\tau_{\max}$  скорость нарастания амплитуды волны существенно уменьшается, что говорит о насыщении неустойчивости. Заметим, что время насыщения и максимальная амплитуда совпадают с оценками, полученными в линейном приближении. Следует отметить, что на нелинейной стадии в области больших  $\alpha$  наблюдается значительное нарастание амплитуды.

Это объясняется тем, что большая часть частиц приобретает минимально возможную для данной ширины спектра скорость, что обусловлено конечностью ширины спектра. Наконец, на рис. 3 представлена динамика функции распределения для трех последовательных моментов

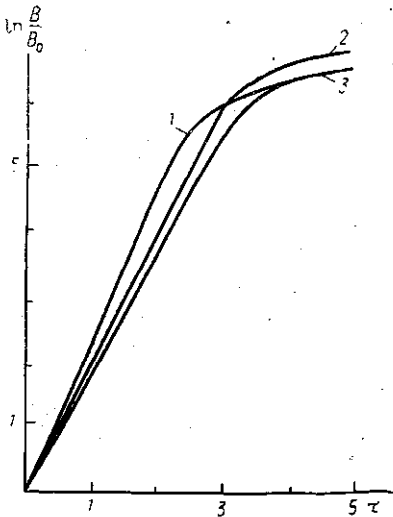


Рис. 1. Временная динамика отдельных волн спектра  $\alpha=0,9$  (1); 1,0 (2) и 1,1 (3)

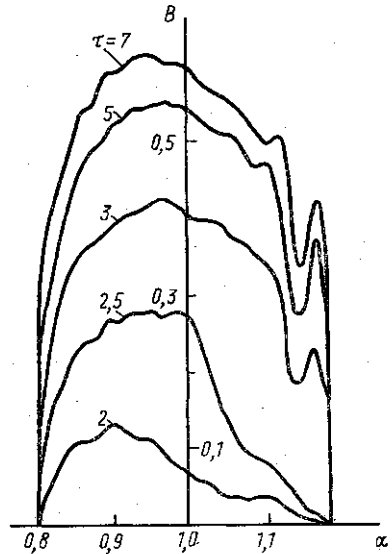


Рис. 2. Динамика спектра для различных моментов времени

времени. Частицы, находящиеся в области резонанса, тормозятся, отдавая энергию соответствующей волне, после чего попадают в резонанс с соседней волной и начинают отдавать энергию ей. Процесс продол-

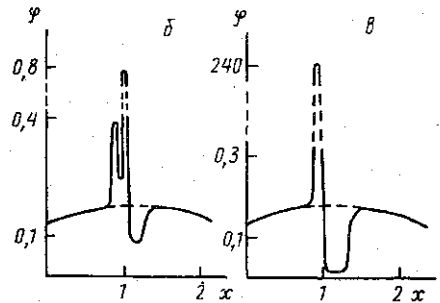
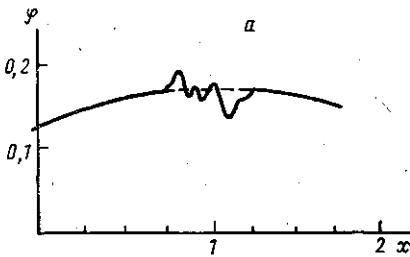


Рис. 3. Динамика функции распределения для трех последовательных моментов времени:  $\tau=2$  (а); 2,5 (б) и 5 (в)

жается до тех пор, пока все частицы не приобретут минимально возможную скорость, соответствующую заданной ширине спектра, что приводит к образованию на функции распределения резкого пика при этом значении скорости и глубокого провала во всей резонансной области. Движение же частиц, находящихся вне области резонанса, практически не испытывает никаких изменений. Можно говорить о том, что из всего

потока электронов выделился моноэнергетический пучок с температурой гораздо меньшей (примерно в 1500 раз) исходной.

В заключение отметим, что изложенная выше теория является, по существу, квазилинейной кинетической теорией пучковой неустойчивости. Но в отличие от традиционной квазилинейной теории [6], учитывающей эффекты резонансного взаимодействия волна-частица черенковского типа, настоящая работа учитывает резонансные взаимодействия в условиях аномального эффекта Доплера. По этой причине развитие нелинейной многомодовой неустойчивости приводит не к образованию плато на функции распределения, как в обычной квазилинейной теории, а к формированию на функции распределения провала в области резонансных скоростей электронов пучка.

#### СПИСОК ЛИТЕРАТУРЫ

- [1] Железняков В. В. // Изв. вузов. Радиофизика. 1959. 2, № 1. С. 14; 1960. 3, № 1. С. 57. [2] Богданов А. Т., Кузелев М. В., Рухадзе А. А. // Изв. вузов. Радиофизика. 1986. 29, № 12. С. 1431. [3] Кузелев М. В., Романов Р. В., Рухадзе А. А. // Кр. сообщ. по физике ФИАН. 1988. № 12. С. 68. [4] Кузелев М. В., Рухадзе А. А., Бобылев Ю. В., Панин В. А. // ЖЭТФ. 1986. 91. С. 1620. [5] Незлин М. В. // УФН. 1976. 120, № 3. С. 431. [6] Романов Ю. А., Филиппов Г. Ф. // ЖЭТФ. 1961. 40. С. 123.

Поступила в редакцию  
06.12.88  
После переработки  
11.01.89

ВЕСТН. МОСК. УН-ТА. СЕР. 3, ФИЗИКА. АСТРОНОМИЯ. 1990. Т. 31, № 1

УДК 553.082.5

#### «СВЕРХРАЗРЕШЕНИЕ» КЛАССИЧЕСКИХ СИГНАЛОВ В НЕСТАЦИОНАРНЫХ КВАНТОВЫХ ШУМАХ

А. В. Гусев, В. В. Кулагин

(ГАИШ)

Предложен метод восстановления сигналов, использующий алгоритм сверхразрешения, в нестационарных шумах с частотно-зависимым сжатием. Предельно достижимая точность восстановления растет с ростом коэффициента сжатия шумов.

Фундаментальной проблемой теории квантовых невозмущающих измерений является обнаружение сверхслабых классических воздействий на квантовый макроскопический осциллятор. В качестве современного измерительного устройства можно использовать оптический интерферометр Фабри-Перо с подвижным зеркалом [1], жестко связанным с массой осциллятора  $M$  и оптической системой индикации отражательного типа с новым элементом — каналом формирования обратной волны [2, 3]. В предлагаемой работе мы покажем, что подобный принцип синтеза измерительного прибора можно использовать для решения существенно нового класса задач: для реконструкции (восстановления) классического узкополосного сигнала  $F(t) = F_c(t) \cos \omega_s t - F_s(t) \sin \omega_s t$  в нестационарных квантовых шумах (с частотно-избирательным сжатием) [4] при ограниченной априорной информации [5, 6]. Пусть  $X(t) = X_c(t) \cos \omega_\mu t - X_s(t) \sin \omega_\mu t$  — координата пробного осциллятора с резонансной частотой  $\omega_\mu = \omega_s \approx (10^3 \div 10^4) \text{ с}^{-1}$ . Спектральная плотность квадратурных компонент  $X_{c,s}$  дается формулами

$$X_{c,s}(\omega) = (1, i) [X(\omega - \omega_\mu) \pm X(\omega + \omega_\mu)], \quad |\omega| \ll \omega_\mu.$$